

DEW-OSR-7. 6222. 66. 2020



RPU/321555/2020 P

Data: 2020-05-13

PLAY

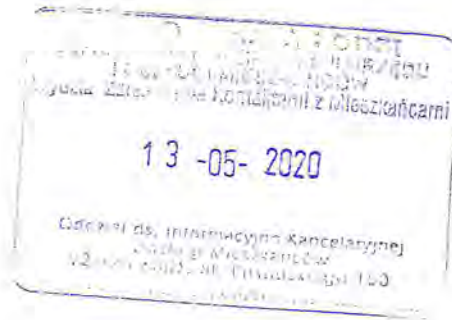
Warszawa, 2020-05-08

Prowadzący instalację:

P4 Sp. z o. o.
ul. Taśmowa 7
02 – 677 Warszawa

Adres do korespondencji:

P4 Sp. z o. o.
ul. Taśmowa 7,
02-677 Warszawa



Urząd Miasta Łodzi

Wydział Ochrony Środowiska i Rolnictwa

dotyczy stacji bazowej telefonii komórkowej operatora P4 Sp. z o. o. LOD3399 A

Zgodnie z wymogami Rozporządzenia Ministra Środowiska z dnia 2 lipca 2010 r. w sprawie zgłoszenia instalacji wytwarzających pola elektromagnetyczne (DZ. U. 2010 Nr 130 poz. 879), Rozporządzenia Ministra Środowiska z dnia 2 lipca 2010 r. w sprawie rodzajów instalacji, których eksploatacja wymaga zgłoszenia (t. jedn. DZ. U. 2019, POZ. 1510) oraz na podstawie art. 152 ustawy Prawo ochrony środowiska z dnia 27 kwietnia 2001 r., **P4 Sp. z o. o. z siedzibą w Warszawie** przedkłada informację o zmianie danych w instalacji wytwarzającej pole elektromagnetyczne znajdującej się w lokalizacji:

90-113 Łódź, Traugutta 25, gm. Łódź, pow. Łódź

Zmiana jest nieistotna, gdyż uwzględniając rozszerzoną niepewność pomiarową oraz poprawki wymagane przepisami pkt. 7 Załącznika do Rozporządzenia Ministra Klimatu z dnia 17 lutego 2020 r. w sprawie sposobów sprawdzania dotrzymania dopuszczalnych poziomów pól elektromagnetycznych w środowisku, nie występuje przekroczenie progu 60% wartości tych poziomów w miejscach dostępnych dla ludności określonych zgodnie z Art. 124 ust. 2 ustawy Prawo ochrony środowiska.

Przedłożenie informacji o zmianie nieistotnej dokonane zostaje w trybie art. 152 ust 7 pkt. 3 ustawy Prawo ochrony środowiska – informacje na temat zmiany parametrów określone są w jedynym formularzu przewidzianym przez przepisy wykonawcze.

Załączniki:

- 1) Formularz aktualizacyjny instalacji

Z poważaniem
Koordynator OŚ

[Redacted signature]
Pełnomocnik Zarządu

AKTUALIZACJA DANYCH INSTALACJI PO WPROWADZENIU ZMIANY NIEISTOTNEJ

I. Wypełnia podmiot prowadzący instalację dokonujący jej zgłoszenia

1. Nazwa i adres organu ochrony środowiska właściwego do przyjęcia zgłoszenia

Urząd Miasta Łodzi
Wydział Ochrony Środowiska i Rolnictwa
Al. Piłsudskiego 100
92-236 Łódź

2. Nazwa instalacji zgodna z nazewnictwem stosowanym przez prowadzącego instalację

LOD3399_A (zgłoszenie nr 12)

3. Określenie nazw jednostek terytorialnych (gmin, powiatów i województw), na których terenie znajduje się instalacja, wraz podaniem symboli NTS jednostek terytorialnych, na których terenie znajduje się instalacja.

woj. ŁÓDZKIE 2.1.10 (KTS: 1005100000000), pow. Łódź 4.1.10.16.61 (KTS: 10051011661000), gm. Łódź 5.1.10.16.61.01.1 (KTS: 10051011661011)

4. Oznaczenie prowadzącego instalację, jego adres zamieszkania lub siedziby

P4 Sp. z o.o., ul Taśmowa 7, 02-677 Warszawa

5. Adres zakładu, na którego terenie prowadzona jest eksploatacja instalacji

90-113 Łódź, Traugutta 25, gm. Łódź, pow. Łódź

6. Rodzaj instalacji zgodnie z załącznikiem nr 2 rozporządzenia Ministra Środowiska z dnia 2 lipca 2010r. w sprawie zgłoszenia instalacji wytwarzających pola elektromagnetyczne (Dz. U. nr 130, poz. 879).

Instalacja radiokomunikacyjna, której moc promieniowana izotropowo wynosi nie mniej niż 15W, emitująca pola elektromagnetyczne o częstotliwościach od 30 kHz do 300 GHz.

7. Rodzaj i zakres prowadzonej działalności, w tym wielkość produkcji lub wielkość świadczonych usług.

Usługi telekomunikacyjne bez prowadzenia produkcji. Wielkość świadczonych usług: usługi telekomunikacyjne dla ilości do 2000 użytkowników jednocześnie.

8. Czas funkcjonowania instalacji (dni tygodnia i godziny)

Wszystkie dni tygodnia, 24 godziny na dobę.

9. Emisja pola elektromagnetycznego o równoważnych mocach promieniowanych izotropowo (EIRP) poszczególnych anten:

Antena Sektorowa 11_DL: 4019W
Antena Sektorowa 12_NU: 4170W
Antena Sektorowa 13_H: 5548W
Antena Sektorowa 14_T: 1766W
Antena Sektorowa 15_V: 1582W
Antena Sektorowa 21_DL: 4019W
Antena Sektorowa 22_NU: 4170W
Antena Sektorowa 23_H: 5548W
Antena Sektorowa 24_T: 1766W
Antena Sektorowa 25_V: 1582W
Antena Sektorowa 31_DL: 4019W
Antena Sektorowa 32_NU: 4170W
Antena Sektorowa 33_H: 5548W
Antena Sektorowa 34_T: 1766W
Antena Sektorowa 35_V: 1582W
Radiolinia RL1: 1413W
Radiolinia RL2: 1413W
Radiolinia RL3: 1413W
Radiolinia RL4: 1413W
Radiolinia RL5: 7079W
Radiolinia RL6: 1413W

10. Opis stosowanych metod ograniczenia emisji

Instalacja ogranicza wielkość emisji w sposób automatyczny do wartości nie większych niż niezbędne do zapewnienia obsługi użytkowników sieci. Metoda zgodna z zasadą działania systemu telefonii komórkowej określona odpowiednimi normami.


11. Informacja czy stopień ograniczenia wielkości emisji jest zgodny z obowiązującymi przepisami
Konstrukcja stacji ogranicza wielkość emisji, tak że obowiązujące przepisy i normy dotyczące pól elektromagnetycznych są zachowane.

12. Szczegółowe dane odpowiednio do rodzaju instalacji zgodnie z wymaganiami określonymi w załączniku 2 do rozporządzenia

LP 1.	<p>Współrzędne geograficzne anten instalacji:</p> <p><i>Antena Sektorowa 11_DL: (19°27'47.8"E,51°46'07.5"N)</i> <i>Antena Sektorowa 12_NU: (19°27'47.8"E,51°46'07.5"N)</i> <i>Antena Sektorowa 13_H: (19°27'48.3"E,51°46'06.9"N)</i> <i>Antena Sektorowa 14_T: (19°27'48.3"E,51°46'06.9"N)</i> <i>Antena Sektorowa 15_V: (19°27'48.3"E,51°46'06.9"N)</i> <i>Antena Sektorowa 21_DL: (19°27'48.3"E,51°46'06.9"N)</i> <i>Antena Sektorowa 22_NU: (19°27'48.3"E,51°46'06.9"N)</i> <i>Antena Sektorowa 23_H: (19°27'46.9"E,51°46'07.2"N)</i> <i>Antena Sektorowa 24_T: (19°27'46.9"E,51°46'07.2"N)</i> <i>Antena Sektorowa 25_V: (19°27'46.9"E,51°46'07.2"N)</i> <i>Antena Sektorowa 31_DL: (19°27'46.9"E,51°46'07.2"N)</i> <i>Antena Sektorowa 32_NU: (19°27'46.9"E,51°46'07.2"N)</i> <i>Antena Sektorowa 33_H: (19°27'46.9"E,51°46'07.2"N)</i> <i>Antena Sektorowa 34_T: (19°27'46.9"E,51°46'07.2"N)</i> <i>Antena Sektorowa 35_V: (19°27'46.9"E,51°46'07.2"N)</i> <i>Radiolinia RL1: (19°27'47.5"E,51°46'07.1"N)</i> <i>Radiolinia RL2: (19°27'47.5"E,51°46'07.1"N)</i> <i>Radiolinia RL3: (19°27'47.5"E,51°46'07.1"N)</i> <i>Radiolinia RL4: (19°27'47.5"E,51°46'07.1"N)</i> <i>Radiolinia RL5: (19°27'47.5"E,51°46'07.1"N)</i> <i>Radiolinia RL6: (19°27'47.5"E,51°46'07.1"N)</i></p>
LP 2.	<p>Częstotliwość pracy instalacji: <i>800MHz,900MHz,1800MHz,2100MHz,2600MHz,80GHz</i></p>
LP 3.	<p>Wysokość środków elektrycznych anten nad poziomem terenu:</p> <p><i>Antena Sektorowa 11_DL: 67,20m</i> <i>Antena Sektorowa 12_NU: 67,20m</i> <i>Antena Sektorowa 13_H: 67,20m</i> <i>Antena Sektorowa 14_T: 66,95m</i> <i>Antena Sektorowa 15_V: 66,95m</i> <i>Antena Sektorowa 21_DL: 67,20m</i> <i>Antena Sektorowa 22_NU: 67,20m</i> <i>Antena Sektorowa 23_H: 67,20m</i> <i>Antena Sektorowa 24_T: 66,95m</i> <i>Antena Sektorowa 25_V: 66,95m</i> <i>Antena Sektorowa 31_DL: 67,20m</i> <i>Antena Sektorowa 32_NU: 67,20m</i> <i>Antena Sektorowa 33_H: 67,20m</i> <i>Antena Sektorowa 34_T: 66,95m</i> <i>Antena Sektorowa 35_V: 66,95m</i></p>

	<p>Radiolinia RL1: 66,60m Radiolinia RL2: 66,80m Radiolinia RL3: 66,85m Radiolinia RL4: 66,25m Radiolinia RL5: 68,00m Radiolinia RL6: 68,70m</p>
LP 4.	<p>Emisja pola elektromagnetycznego o równoważnych mocach promieniowanych izotropowo (EIRP) poszczególnych anten:</p> <p>Antena Sektorowa 11_DL: 4019W Antena Sektorowa 12_NU: 4170W Antena Sektorowa 13_H: 5548W Antena Sektorowa 14_T: 1766W Antena Sektorowa 15_V: 1582W Antena Sektorowa 21_DL: 4019W Antena Sektorowa 22_NU: 4170W Antena Sektorowa 23_H: 5548W Antena Sektorowa 24_T: 1766W Antena Sektorowa 25_V: 1582W Antena Sektorowa 31_DL: 4019W Antena Sektorowa 32_NU: 4170W Antena Sektorowa 33_H: 5548W Antena Sektorowa 34_T: 1766W Antena Sektorowa 35_V: 1582W Radiolinia RL1: 1413W Radiolinia RL2: 1413W Radiolinia RL3: 1413W Radiolinia RL4: 1413W Radiolinia RL5: 7079W Radiolinia RL6: 1413W</p>
LP 5.	<p>Zakresy azymutów i kątów pochylenia osi głównych wiązek promieniowania poszczególnych anten Instalacji:</p> <p>Antena Sektorowa 11_DL: azymut 0°, pochylenie 0-15° (1800MHz) Antena Sektorowa 12_NU: azymut 0°, pochylenie 0-15° (2100MHz) Antena Sektorowa 13_H: azymut 0°, pochylenie 2-14° (2600MHz) Antena Sektorowa 14_T: azymut 0°, pochylenie 0-12° (900MHz) Antena Sektorowa 15_V: azymut 0°, pochylenie 0-12° (800MHz) Antena Sektorowa 21_DL: azymut 90°, pochylenie 0-15° (1800MHz) Antena Sektorowa 22_NU: azymut 90°, pochylenie 0-15° (2100MHz) Antena Sektorowa 23_H: azymut 90°, pochylenie 2-14° (2600MHz) Antena Sektorowa 24_T: azymut 90°, pochylenie 0-12° (900MHz) Antena Sektorowa 25_V: azymut 90°, pochylenie 0-12° (800MHz) Antena Sektorowa 31_DL: azymut 280°, pochylenie 0-15° (1800MHz) Antena Sektorowa 32_NU: azymut 280°, pochylenie 0-15° (2100MHz) Antena Sektorowa 33_H: azymut 280°, pochylenie 2-14° (2600MHz) Antena Sektorowa 34_T: azymut 280°, pochylenie 0-12° (900MHz) Antena Sektorowa 35_V: azymut 280°, pochylenie 0-12° (800MHz) Radiolinia RL1: azymut 103° +/-30°, pochylenie 0° Radiolinia RL2: azymut 191° +/-30°, pochylenie 0° Radiolinia RL3: azymut 285° +/-30°, pochylenie 0° Radiolinia RL4: azymut 317° +/-30°, pochylenie 0° Radiolinia RL5: azymut 338° +/-30°, pochylenie 0°</p>

	Radiolinia RL6: azymut 346° +/-30°, pochylenie 0°
LP 6.	<p><i>Dla anteny Antena Sektorowa 11_DL miejsca dostępne dla ludności nie znajdują się w określonej we wskazanym poniżej rozporządzeniu odległości od środka elektrycznego anteny w osi jej głównej wiązki promieniowania,</i></p> <p><i>Dla anteny Antena Sektorowa 12_NU miejsca dostępne dla ludności nie znajdują się w określonej we wskazanym poniżej rozporządzeniu odległości od środka elektrycznego anteny w osi jej głównej wiązki promieniowania,</i></p> <p><i>Dla anteny Antena Sektorowa 13_H miejsca dostępne dla ludności nie znajdują się w określonej we wskazanym poniżej rozporządzeniu odległości od środka elektrycznego anteny w osi jej głównej wiązki promieniowania,</i></p> <p><i>Dla anteny Antena Sektorowa 14_T miejsca dostępne dla ludności nie znajdują się w określonej we wskazanym poniżej rozporządzeniu odległości od środka elektrycznego anteny w osi jej głównej wiązki promieniowania,</i></p> <p><i>Dla anteny Antena Sektorowa 15_V miejsca dostępne dla ludności nie znajdują się w określonej we wskazanym poniżej rozporządzeniu odległości od środka elektrycznego anteny w osi jej głównej wiązki promieniowania,</i></p> <p><i>Dla anteny Antena Sektorowa 21_DL miejsca dostępne dla ludności nie znajdują się w określonej we wskazanym poniżej rozporządzeniu odległości od środka elektrycznego anteny w osi jej głównej wiązki promieniowania,</i></p> <p><i>Dla anteny Antena Sektorowa 22_NU miejsca dostępne dla ludności nie znajdują się w określonej we wskazanym poniżej rozporządzeniu odległości od środka elektrycznego anteny w osi jej głównej wiązki promieniowania,</i></p> <p><i>Dla anteny Antena Sektorowa 23_H miejsca dostępne dla ludności nie znajdują się w określonej we wskazanym poniżej rozporządzeniu odległości od środka elektrycznego anteny w osi jej głównej wiązki promieniowania,</i></p> <p><i>Dla anteny Antena Sektorowa 24_T miejsca dostępne dla ludności nie znajdują się w określonej we wskazanym poniżej rozporządzeniu odległości od środka elektrycznego anteny w osi jej głównej wiązki promieniowania,</i></p> <p><i>Dla anteny Antena Sektorowa 25_V miejsca dostępne dla ludności nie znajdują się w określonej we wskazanym poniżej rozporządzeniu odległości od środka elektrycznego anteny w osi jej głównej wiązki promieniowania,</i></p> <p><i>Dla anteny Antena Sektorowa 31_DL miejsca dostępne dla ludności nie znajdują się w określonej we wskazanym poniżej rozporządzeniu odległości od środka elektrycznego anteny w osi jej głównej wiązki promieniowania,</i></p> <p><i>Dla anteny Antena Sektorowa 32_NU miejsca dostępne dla ludności nie znajdują się w określonej we wskazanym poniżej rozporządzeniu odległości od środka elektrycznego anteny w osi jej głównej wiązki promieniowania,</i></p> <p><i>Dla anteny Antena Sektorowa 33_H miejsca dostępne dla ludności nie znajdują się w określonej we wskazanym poniżej rozporządzeniu odległości od środka elektrycznego anteny w osi jej głównej wiązki promieniowania,</i></p> <p><i>Dla anteny Antena Sektorowa 34_T miejsca dostępne dla ludności nie znajdują się w określonej we wskazanym poniżej rozporządzeniu odległości od środka elektrycznego anteny w osi jej głównej wiązki promieniowania,</i></p> <p><i>Dla anteny Antena Sektorowa 35_V miejsca dostępne dla ludności nie znajdują się w określonej we wskazanym poniżej rozporządzeniu odległości od środka elektrycznego anteny w osi jej głównej wiązki promieniowania,</i></p> <p><i>a zatem, zgodnie z przepisami wydanymi na podstawie art. 60 ustawy z dnia 3 października 2008r. o udostępnianiu informacji o środowisku i jego ochronie, udziale społeczeństwa w ochronie środowiska oraz o ocenach oddziaływania na środowisko, tj. Rozporządzeniem Rady Ministrów z dnia 10 września</i></p>

	2019 r. w sprawie przedsięwzięć mogących znacząco oddziaływać na środowisko (Dz.U. 2019 poz. 1839), przedmiotowa instalacja nie jest kwalifikowana jako przedsięwzięcie mogące zawsze bądź mogące potencjalnie znacząco oddziaływać na środowisko.	
LP 7.	Wyniki pomiarów poziomów pól elektromagnetycznych – jako załącznik (raport z pomiarów)	
13. Miejscowość, data:	Warszawa, 2020-05-08	
Imię i nazwisko osoby reprezentującej prowadzącego instalację:		
Podpis:		
II. Wypełnia organ ochrony środowiska przyjmujący zgłoszenie		
Data zarejestrowania zgłoszenia	Numer zgłoszenia	
.....	

Pełnomocnik Zarządu



Laboratorium EMVO Sp. J. Urbański, Pawelak

ul. Jasna 1
00-013 Warszawa

tel. +48 22 780 29 64
e-mail: laboratorium@emvo.pl



AB 1630

**Sprawozdanie z pomiarów pól elektromagnetycznych - środowisko ogólne
nr 103/04/OŚ/2020 - P4 - W**



Nr i nazwa stacji	LOD3399	
Adres	Łódź, ul. Traugutta 25, pow. Łódź, woj. łódzkie	
Opracowanie		Specjalista ds. pomiarów
Autoryzacja		Kierownik Laboratorium
Podpis	Podpis jest prawidłowy Dokument podpisany przez Data: 2020.05.07 08:13:48 CEST Powód: Zatwierdzam dokument	
Data	2020-05-04	

„Bez pisemnej zgody Laboratorium niniejsze sprawozdanie nie może być powielane inaczej, jak tylko w całości. Ponadto wyniki dotyczą tylko badanych obiektów przywołanych w niniejszym sprawozdaniu z badań”

Spis treści

1. Informacje ogólne.....	3
2. Podstawa prawna.	3
3. Opis pomiarów.....	3
4. Zróżnicowanie dopuszczalne poziomy pól elektromagnetycznych.....	4
5. Charakterystyka źródeł PEM.....	4
6. Wyniki pomiarów.....	6
7. Stwierdzenie zgodności	10
8. Oświadczenie	10
9. Spis załączników.	10

1. Informacje ogólne.

Zleceniodawca	P4 sp. z o.o., ul. Taśmowa 7, 02-677 Warszawa osoba udzielająca informacji – Monika Jankowska
Istotne informacje dostarczone przez zleceniodawcę	komplet informacji niezbędnych do wykonania pomiarów i opracowania sprawozdania
Prowadzący instalację	P4 sp. z o.o., ul. Taśmowa 7, 02-677 Warszawa
Lokalizacja obiektu	Łódź, ul. Traugutta 25, pow. Łódź, woj. łódzkie
Miejsce instalacji anten	dach budynku
Miejsce instalacji urządzeń	outdoor
Osoby wykonujące pomiar	Jakub Frączak
Data wykonania pomiaru	2020-05-04
Temperatura na początku pomiaru [°C]	17
Temperatura na koniec pomiaru [°C]	17,5
Warunki atmosferyczne	Brak opadów.
Wilgotność na początku pomiaru [%]	44
Wilgotność na koniec pomiaru [%]	45
Inne źródła pól elektromagnetycznych	występują
Parametry pracy instalacji	eksploatacyjne

2. Podstawa prawna.

2.1 Normy i rozporządzenia:

- Rozporządzeniem Ministra Klimatu z dnia 17 lutego 2020 r. w sprawie sposobów sprawdzania dotrzymania dopuszczalnych poziomów pól elektromagnetycznych w środowisku (Dz.U. 2020 poz. 258)
- Rozporządzenie Ministra Zdrowia z dnia 17 grudnia 2019 r. w sprawie dopuszczalnych poziomów pól elektromagnetycznych w środowisku (Dz.U. 2019 poz. 2448)
- Obwieszczenie Marszałka Sejmu Rzeczypospolitej Polskiej z dnia 19 lipca 2019 r. w sprawie ogłoszenia jednolitego tekstu ustawy - Prawo ochrony środowiska (Dz.U. 2019 poz. 1396).

3. Opis pomiarów.

Metodologia pomiarowa	Pomiary w oparciu o Rozporządzeniem Ministra Klimatu z dnia 17 lutego 2020 r. w sprawie sposobów sprawdzania dotrzymania dopuszczalnych poziomów pól elektromagnetycznych w środowisku (Dz.U. 2020 poz. 258).
Cel badań	Określenie wartości natężenia pola elektrycznego w miejscach dostępnych dla ludności.
Opis zestawu pomiarowego	Miernik Narda NBM 520, Sonda EF 9091, o zakresie pomiarowym 0,7 V/m - 400V/m pracująca w paśmie 0,1 – 90 GHz, świadectwo wydane przez Laboratorium Wzorców i Metrologii Pola Elektromagnetycznego, Instytut Telekomunikacji, Teleinformatyki i Akustyki Politechniki Wrocławskiej. Świadectwo ważne do 15.07.2021r. Miernik Narda NBM 520, Sonda EF 9091 pracuje w zakresie temperatury -10°C - +50°C oraz wilgotności 5% - 95%

„Bez pisemnej zgody Laboratorium niniejsze sprawozdanie nie może być powielane inaczej, jak tylko w całości. Ponadto wyniki dotyczą tylko badanych obiektów przywołanych w niniejszym sprawozdaniu z badań”

Wyposażenie pomocnicze Niepewność rozszerzona wynosi 57,4% przy poziomie ufności 95% z uwzględnieniem współczynnika rozszerzenia $k=2$.
 Termohigrometr Termoprodukt, typ: Termik+, nr identyfikacyjny 700618, świadectwo wzorcowania nr 1763/AH/19 z dn. 29.07.2019 r. wydane przez Laboratorium Pomiarowe "MUTECH".
 Przymiar wstępowy STABILA, nr identyfikacyjny 31WL, świadectwo wzorcowania nr 6W1/1826/19 z dn. 02.08.2019 r. wydane przez Dyrektora Okręgowego Urzędu Miar w Gdańsku.
 GPS Garmin 64s okresowo sprawdzany w punktach osnowy geodezyjnej klasy 3 na podstawie licencji punktu, zgodnie z procedurą sprawdzeń okresowych IS/PO16-11/03.

Szczególne warunki podczas wykonywania pomiarów Pomiary wykonane zostały podczas obowiązywania w kraju stanu epidemii, zgodnie z art. 122a ust. 1b Ustawy z dnia 27 kwietnia 2001 r. – Prawo ochrony środowiska (Dz. U. z 2019 r. poz. 1396, z późn. zm.9))

4. Zróżnicowanie dopuszczalne poziomy pól elektromagnetycznych.

Zakresy znajdują się w Dzienniku Ustaw z dnia 17 grudnia 2019 r. przedstawione są w tabeli nr 2 (Dz. U. z 2019r. poz. 2448).

Parametr fizyczny Zakres Częstotliwości pola elektromagnetycznego	Składowa elektryczna E (V/m)	Składowa magnetyczna H (A/m)	Gęstość mocy S (W/m ²)
od 400 MHz do 2000 MHz	$1,375 \times f^{0,5}$	$0,0037 \times f^{0,5}$	$f / 200$
od 2 GHz do 300 GHz	61	0,16	10

5. Charakterystyka źródeł PEM.

Zgodnie z informacją otrzymaną od Zleceniodawcy pomiary zostały wykonane przy ustawieniach pochyleń anten zgodnych z pkt. 13, ppkt 2 załącznika do rozporządzenia Ministra Klimatu z dnia 17 lutego 2020 roku.

Anteny sektorowe

Charakterystyka promieniowania		kierunkowa				
Rzeczywisty czas pracy [h/dobę]		24				
Rodzaj wytwarzanego pola		stacjonarne				
L p	Wyszczególnienie	sektor 1				
I Nadajnik stacji bazowej:						
1	Typ / Producent	DBS / Huawei				
2	Częstotliwość (pasmo) MHz	900	800	1800	2100	2600
3	Maksymalna moc nadawana na sektor [dBm]	46,02	46,02	49,03	49,03	49,03
II Obciążenie:						
1	Typ anteny	Huawei A794516R0	Huawei A794516R0	Kathrein 80010504	Kathrein 80010504	Kathrein 80010621
2	Producent anteny	Huawei	Huawei	Kathrein	Kathrein	Kathrein
3	Ilość anten	1	1	1	1	1
4	Azymut	0				
5	Zakres kątów pochylenia anten [°]	0,00-12,00	0,00-12,00	0,00-15,00	0,00-15,00	2,00-14,00
6	Wysokość zainst. n.p.t. [m]	66,95	66,95	67,20	67,20	67,20
7	EIRP [W]	1766	1582	4019	4170	5548

Charakterystyka promieniowania		kierunkowa				
Rzeczywisty czas pracy [h/dobę]		24				
Rodzaj wytwarzanego pola		stacjonarne				
L p	Wyszczególnienie	sektor 2				
I Nadajnik stacji bazowej:						
1	Typ / Producent	DBS / Huawei				
2	Częstotliwość (pasmo) MHz	900	800	1800	2100	2600
3	Maksymalna moc nadawana na sektor [dBm]	46,02	46,02	49,03	49,03	49,03
II Obciążenie:						
1	Typ anteny	Huawei A794516R0	Huawei A794516R0	Kathrein 80010504	Kathrein 80010504	Kathrein 80010621
2	Producent anteny	Huawei	Huawei	Kathrein	Kathrein	Kathrein
3	Ilość anten	1	1	1	1	1
4	Azymut	90				
5	Zakres kątów pochylenia anten [°]	0,00-12,00	0,00-12,00	0,00-15,00	0,00-15,00	2,00-14,00
6	Wysokość zainst. n.p.t. [m]	66,95	66,95	67,20	67,20	67,20
7	EIRP [W]	1766	1582	4019	4170	5548

Charakterystyka promieniowania		kierunkowa				
Rzeczywisty czas pracy [h/dobę]		24				
Rodzaj wytwarzanego pola		stacjonarne				
L p	Wyszczególnienie	sektor 3				
I Nadajnik stacji bazowej:						
1	Typ / Producent	DBS / Huawei				
2	Częstotliwość (pasmo) MHz	900	800	1800	2100	2600
3	Maksymalna moc nadawana na sektor [dBm]	46,02	46,02	49,03	49,03	49,03
II Obciążenie:						
1	Typ anteny	Huawei A794516R0	Huawei A794516R0	Kathrein 80010504	Kathrein 80010504	Kathrein 80010621
2	Producent anteny	Huawei	Huawei	Kathrein	Kathrein	Kathrein
3	Ilość anten	1	1	1	1	1
4	Azymut	280				
5	Zakres kątów pochylenia anten [°]	0,00-12,00	0,00-12,00	0,00-15,00	0,00-15,00	2,00-14,00
6	Wysokość zainst. n.p.t. [m]	66,95	66,95	67,20	67,20	67,20
7	EIRP [W]	1766	1582	4019	4170	5548

Anteny radioliniowe

Charakterystyka promieniowania		kierunkowa					
Rzeczywisty czas pracy [h/dobę]		24					
Rodzaj wytwarzanego pola		stacjonarne					
L p	Linia radiowa			Antena			
	typ/producent	częstotliwość pracy [GHz]	moc wyjściowa [dBm]	typ/producent	średnica anteny [m]	azymut [°]	wysokość zainstal. [m]
1	OPTIX RTN/HUAWEI	80	18	VHLP1-80/Andrew	0,3	103	66,60
2	OPTIX RTN/HUAWEI	80	18	VHLP1-80/Andrew	0,3	191	66,80
3	OPTIX RTN/HUAWEI	80	18	VHLP1-80/Andrew	0,3	285	66,85
4	OPTIX RTN/HUAWEI	80	18	VHLP1-80/Andrew	0,3	317	66,25
5	OPTIX RTN/HUAWEI	80	18	VHLP2-80/Andrew	0,6	338	68,00
6	OPTIX RTN/HUAWEI	80	18	VHLP1-80/Andrew	0,3	346	68,70

6. Wyniki pomiarów.

Wyniki pomiarów pól elektromagnetycznych dla celów ochrony środowiska przedstawia poniższa tabela. Piony pomiarowe zostały przedstawione w zał. 2.

Nr PP	Pole-E [V/m]	Pole-E*kE,+U [V/m]	Pole-H [A/m]	Pole-H*kE,+U [A/m]	Wys. pomiaru [m]	Opis pionu	Uwagi	WME	WMH
1	1,5	4,72	0,004	0,013	2,0	N: 51° 46' 9,27" E: 19° 27' 48,3"	otoczenie stacji nadawczej - ok. 50 m od obiektu wzdłuż gł. osi promieniowania - GKP	0,121	0,120
2	1,5	4,72	0,004	0,013	1,9	N: 51° 46' 10,9" E: 19° 27' 48,3"	otoczenie stacji nadawczej - ok. 100 m od obiektu wzdłuż gł. osi promieniowania - GKP	0,121	0,120

„Bez pisemnej zgody Laboratorium niniejsze sprawozdanie nie może być powielane inaczej, jak tylko w całości. Ponadto wyniki dotyczą tylko badanych obiektów przywołanych w niniejszym sprawozdaniu z badań”

3	1,5	4,72	0,004	0,013	2,0	N: 51° 46' 12,52" E: 19° 27' 48,3"	otoczenie stacji nadawczej - ok. 150 m od obiektu wzdłuż gł. osi promieniowania - GKP	0,121	0,120
4	1,6	5,04	0,004	0,013	1,9	N: 51° 46' 14,15" E: 19° 27' 48,3"	otoczenie stacji nadawczej - ok. 200 m od obiektu wzdłuż gł. osi promieniowania - GKP	0,130	0,128
5	1,6	5,04	0,004	0,013	1,7	N: 51° 46' 15,78" E: 19° 27' 48,3"	otoczenie stacji nadawczej - ok. 250 m od obiektu wzdłuż gł. osi promieniowania - GKP	0,130	0,128
6	1,2	3,78	0,003	0,010	1,7	N: 51° 46' 17,28" E: 19° 27' 47,06"	otoczenie stacji nadawczej - ok. 300 m od obiektu wzdłuż gł. osi promieniowania - GKP	0,097	0,096
7	1,0	3,15	0,003	0,008	1,2	N: 51° 46' 18,84" E: 19° 27' 49,01"	otoczenie stacji nadawczej - ok. 350 m od obiektu wzdłuż gł. osi promieniowania - GKP	0,081	0,080
8	1,0	3,15	0,003	0,008	1,3	N: 51° 46' 20,79" E: 19° 27' 48,47"	otoczenie stacji nadawczej - ok. 400 m od obiektu wzdłuż gł. osi promieniowania - GKP	0,081	0,080
9	1,0	3,15	0,003	0,008	1,7	N: 51° 46' 22,28" E: 19° 27' 48,3"	otoczenie stacji nadawczej - ok. 450 m od obiektu wzdłuż gł. osi promieniowania - GKP	0,081	0,080
10	1,0	3,15	0,003	0,008	1,6	N: 51° 46' 23,91" E: 19° 27' 48,3"	otoczenie stacji nadawczej - ok. 500 m od obiektu wzdłuż gł. osi promieniowania - GKP	0,081	0,080
11	1,0	3,15	0,003	0,008	1,3	N: 51° 46' 25,53" E: 19° 27' 48,3"	otoczenie stacji nadawczej - ok. 550 m od obiektu wzdłuż gł. osi promieniowania - GKP	0,081	0,080
12	1,0	3,15	0,003	0,008	1,3	N: 51° 46' 27,16" E: 19° 27' 49,01"	otoczenie stacji nadawczej - ok. 600 m od obiektu wzdłuż gł. osi promieniowania - GKP	0,081	0,080
13	1,1	3,46	0,003	0,009	1,7	N: 51° 46' 28,72" E: 19° 27' 47,92"	otoczenie stacji nadawczej - ok. 650 m od obiektu wzdłuż gł. osi promieniowania - GKP	0,089	0,088
14	1,1	3,46	0,003	0,009	1,9	N: 51° 46' 30,41" E: 19° 27' 48,3"	otoczenie stacji nadawczej - ok. 700 m od obiektu wzdłuż gł. osi promieniowania - GKP	0,089	0,088
15	1,5	4,72	0,004	0,013	1,9	N: 51° 46' 7,12" E: 19° 27' 51,03"	otoczenie stacji nadawczej - ok. 50 m od obiektu wzdłuż gł. osi promieniowania - GKP	0,121	0,120
16	0,7	2,20	<0,002	0,006	1,7	N: 51° 46' 7,12" E: 19° 27' 53,62"	otoczenie stacji nadawczej - ok. 100 m od obiektu wzdłuż gł. osi promieniowania - GKP	0,057	0,056
17	<0,7*	-	-	-	1,8	N: 51° 46' 7,12" E: 19° 27' 56,21"	otoczenie stacji nadawczej - ok. 150 m od obiektu wzdłuż gł. osi promieniowania - GKP	-	-
18	1,6	5,04	0,004	0,013	2,0	N: 51° 46' 7,12" E: 19° 27' 58,8"	otoczenie stacji nadawczej - ok. 200 m od obiektu wzdłuż gł. osi promieniowania - GKP	0,130	0,128
19	1,9	5,98	0,005	0,016	1,6	N: 51° 46' 7,12" E: 19° 28' 1,39"	otoczenie stacji nadawczej - ok. 250 m od obiektu wzdłuż gł. osi promieniowania - GKP	0,154	0,152
20	1,6	5,04	0,004	0,013	1,3	N: 51° 46' 7,12" E: 19° 28' 3,98"	otoczenie stacji nadawczej - ok. 300 m od obiektu wzdłuż gł. osi promieniowania - GKP	0,130	0,128
21	1,6	5,04	0,004	0,013	1,6	N: 51° 46' 7,12" E: 19° 28' 6,57"	otoczenie stacji nadawczej - ok. 350 m od obiektu wzdłuż gł. osi promieniowania - GKP	0,130	0,128
22	1,8	5,67	0,005	0,015	2,0	N: 51° 46' 7,12" E: 19° 28' 9,15"	otoczenie stacji nadawczej - ok. 400 m od obiektu wzdłuż gł. osi promieniowania - GKP	0,146	0,144
23	0,9	2,83	0,002	0,008	1,3	N: 51° 46' 7,12" E: 19° 28' 11,74"	otoczenie stacji nadawczej - ok. 450 m od obiektu wzdłuż gł. osi promieniowania - GKP	0,073	0,072
24	0,8	2,52	0,002	0,007	1,5	N: 51° 46' 6,69" E: 19° 28' 14,31"	otoczenie stacji nadawczej - ok. 500 m od obiektu wzdłuż gł. osi promieniowania - GKP	0,065	0,064
25	0,9	2,83	0,002	0,008	2,0	N: 51° 46' 6,4" E: 19° 28' 16,75"	otoczenie stacji nadawczej - ok. 550 m od obiektu wzdłuż gł. osi promieniowania - GKP	0,073	0,072
26	0,8	2,52	0,002	0,007	1,6	N: 51° 46' 6,69" E: 19° 28' 19,49"	otoczenie stacji nadawczej - ok. 600 m od obiektu wzdłuż gł. osi promieniowania - GKP	0,065	0,064
27	0,9	2,83	0,002	0,008	1,7	N: 51° 46' 6,78" E: 19° 28' 21,93"	otoczenie stacji nadawczej - ok. 650 m od obiektu wzdłuż gł. osi promieniowania - GKP	0,073	0,072
28	1,1	3,46	0,003	0,009	1,9	N: 51° 46' 7,12" E: 19° 28' 24,69"	otoczenie stacji nadawczej - ok. 700 m od obiektu wzdłuż gł. osi promieniowania - GKP	0,089	0,088
29	1,5	4,72	0,004	0,013	1,8	N: 51° 46' 7,66" E: 19° 27' 45,06"	otoczenie stacji nadawczej - ok. 50 m od obiektu wzdłuż gł. osi promieniowania - GKP	0,121	0,120
30	1,2	3,78	0,003	0,010	1,6	N: 51° 46' 7,84" E: 19° 27' 42,4"	otoczenie stacji nadawczej - ok. 100 m od obiektu wzdłuż gł. osi promieniowania - GKP	0,097	0,096
31	<0,7*	-	-	-	1,3	N: 51° 46' 8,22" E: 19° 27' 39,96"	otoczenie stacji nadawczej - ok. 150 m od obiektu wzdłuż gł. osi promieniowania - GKP	-	-
32	<0,7*	-	-	-	1,4	N: 51° 46' 8,51" E: 19° 27' 37,41"	otoczenie stacji nadawczej - ok. 200 m od obiektu wzdłuż gł. osi promieniowania - GKP	-	-
33	<0,7*	-	-	-	1,6	N: 51° 46' 8,35" E: 19° 27' 34,67"	otoczenie stacji nadawczej - ok. 250 m od obiektu wzdłuż gł. osi promieniowania - GKP	-	-
34	1,5	4,72	0,004	0,013	1,4	N: 51° 46' 9,18" E: 19° 27' 32,23"	otoczenie stacji nadawczej - ok. 300 m od obiektu wzdłuż gł. osi promieniowania - GKP	0,121	0,120
35	1,5	4,72	0,004	0,013	1,7	N: 51° 46' 9,35" E: 19° 27' 29,76"	otoczenie stacji nadawczej - ok. 350 m od obiektu wzdłuż gł. osi promieniowania - GKP	0,121	0,120

„Bez pisemnej zgody Laboratorium niniejsze sprawozdanie nie może być powielane inaczej, jak tylko w całości. Ponadto wyniki dotyczą tylko badanych obiektów przywołanych w niniejszym sprawozdaniu z badań”
103/04/OŚ/2020 - P4 - W

36	1,2	3,78	0,003	0,010	1,3	N: 51° 46' 9,63" E: 19° 27' 27,21"	otoczenie stacji nadawczej - ok. 400 m od obiektu wzdłuż gł. osi promieniowania - GKP	0,097	0,096
37	1,3	4,09	0,003	0,011	1,5	N: 51° 46' 10,41" E: 19° 27' 25,62"	otoczenie stacji nadawczej - ok. 450 m od obiektu wzdłuż gł. osi promieniowania - GKP	0,105	0,104
38	1,2	3,78	0,003	0,010	1,4	N: 51° 46' 10,2" E: 19° 27' 22,11"	otoczenie stacji nadawczej - ok. 500 m od obiektu wzdłuż gł. osi promieniowania - GKP	0,097	0,096
39	1,2	3,78	0,003	0,010	1,4	N: 51° 46' 10,48" E: 19° 27' 19,56"	otoczenie stacji nadawczej - ok. 550 m od obiektu wzdłuż gł. osi promieniowania - GKP	0,097	0,096
40	1,3	4,09	0,003	0,011	1,7	N: 51° 46' 10,76" E: 19° 27' 17,01"	otoczenie stacji nadawczej - ok. 600 m od obiektu wzdłuż gł. osi promieniowania - GKP	0,105	0,104
41	1,2	3,78	0,003	0,010	1,7	N: 51° 46' 10,74" E: 19° 27' 14,46"	otoczenie stacji nadawczej - ok. 650 m od obiektu wzdłuż gł. osi promieniowania - GKP	0,097	0,096
42	1,3	4,09	0,003	0,011	1,7	N: 51° 46' 11,33" E: 19° 27' 11,91"	otoczenie stacji nadawczej - ok. 700 m od obiektu wzdłuż gł. osi promieniowania - GKP	0,105	0,104
43	1,5	4,72	0,004	0,013	1,7	N: 51° 46' 6,39" E: 19° 27' 50,82"	otoczenie stacji nadawczej - ok. 50 m od obiektu wzdłuż gł. osi promieniowania - GKP	0,121	0,120
44	1,4	4,41	0,004	0,012	2,0	N: 51° 46' 6,39" E: 19° 27' 53,49"	otoczenie stacji nadawczej - ok. 100 m od obiektu wzdłuż gł. osi promieniowania - GKP	0,113	0,112
45	1,3	4,09	0,003	0,011	1,7	N: 51° 46' 6,02" E: 19° 27' 56,01"	otoczenie stacji nadawczej - ok. 150 m od obiektu wzdłuż gł. osi promieniowania - GKP	0,105	0,104
46	1,2	3,78	0,003	0,010	1,9	N: 51° 46' 5,52" E: 19° 27' 47,95"	otoczenie stacji nadawczej - ok. 50 m od obiektu wzdłuż gł. osi promieniowania - GKP	0,097	0,096
47	1,5	4,72	0,004	0,013	2,0	N: 51° 46' 3,93" E: 19° 27' 47,46"	otoczenie stacji nadawczej - ok. 100 m od obiektu wzdłuż gł. osi promieniowania - GKP	0,121	0,120
48	1,6	5,04	0,004	0,013	1,2	N: 51° 46' 2,33" E: 19° 27' 46,96"	otoczenie stacji nadawczej - ok. 150 m od obiektu wzdłuż gł. osi promieniowania - GKP	0,130	0,128
49	1,5	4,72	0,004	0,013	1,8	N: 51° 46' 8,47" E: 19° 27' 45,06"	otoczenie stacji nadawczej - ok. 50 m od obiektu wzdłuż gł. osi promieniowania - GKP	0,121	0,120
50	1,4	4,41	0,004	0,012	1,8	N: 51° 46' 8,45" E: 19° 27' 42,84"	otoczenie stacji nadawczej - ok. 100 m od obiektu wzdłuż gł. osi promieniowania - GKP	0,113	0,112
51	1,5	4,72	0,004	0,013	1,4	N: 51° 46' 8,79" E: 19° 27' 40,29"	otoczenie stacji nadawczej - ok. 150 m od obiektu wzdłuż gł. osi promieniowania - GKP	0,121	0,120
52	1,4	4,41	0,004	0,012	1,8	N: 51° 46' 9,03" E: 19° 27' 46,3"	otoczenie stacji nadawczej - ok. 50 m od obiektu wzdłuż gł. osi promieniowania - GKP	0,113	0,112
53	1,5	4,72	0,004	0,013	1,6	N: 51° 46' 10,03" E: 19° 27' 44,77"	otoczenie stacji nadawczej - ok. 100 m od obiektu wzdłuż gł. osi promieniowania - GKP	0,121	0,120
54	1,5	4,72	0,004	0,013	1,6	N: 51° 46' 11,21" E: 19° 27' 43"	otoczenie stacji nadawczej - ok. 150 m od obiektu wzdłuż gł. osi promieniowania - GKP	0,121	0,120
55	1,6	5,04	0,004	0,013	1,9	N: 51° 46' 9,15" E: 19° 27' 47,33"	otoczenie stacji nadawczej - ok. 50 m od obiektu wzdłuż gł. osi promieniowania - GKP	0,130	0,128
56	1,5	4,72	0,004	0,013	1,3	N: 51° 46' 10,66" E: 19° 27' 46,36"	otoczenie stacji nadawczej - ok. 100 m od obiektu wzdłuż gł. osi promieniowania - GKP	0,121	0,120
57	1,6	5,04	0,004	0,013	1,8	N: 51° 46' 12,17" E: 19° 27' 45,39"	otoczenie stacji nadawczej - ok. 150 m od obiektu wzdłuż gł. osi promieniowania - GKP	0,130	0,128
58	1,5	4,72	0,004	0,013	1,6	N: 51° 46' 10,03" E: 19° 27' 47,58"	otoczenie stacji nadawczej - ok. 50 m od obiektu wzdłuż gł. osi promieniowania - GKP	0,121	0,120
59	1,5	4,72	0,004	0,013	1,8	N: 51° 46' 11,04" E: 19° 27' 47,35"	otoczenie stacji nadawczej - ok. 100 m od obiektu wzdłuż gł. osi promieniowania - GKP	0,121	0,120
60	1,6	5,04	0,004	0,013	1,9	N: 51° 46' 12,37" E: 19° 27' 46,36"	otoczenie stacji nadawczej - ok. 150 m od obiektu wzdłuż gł. osi promieniowania - GKP	0,130	0,128
61	0,9	2,83	0,002	0,008	1,6	N: 51° 46' 12,33" E: 19° 27' 50,19"	otoczenie stacji nadawczej - PKP	0,073	0,072
62	0,8	2,52	0,002	0,007	1,5	N: 51° 46' 10,73" E: 19° 27' 49,56"	otoczenie stacji nadawczej - PKP	0,065	0,064
63	0,9	2,83	0,002	0,008	1,2	N: 51° 46' 8,44" E: 19° 27' 50,48"	otoczenie stacji nadawczej - PKP	0,073	0,072
64	0,9	2,83	0,002	0,008	1,3	N: 51° 46' 8,2" E: 19° 27' 53,07"	otoczenie stacji nadawczej - PKP	0,073	0,072
65	1,2	3,78	0,003	0,010	1,6	N: 51° 46' 10" E: 19° 27' 56,01"	otoczenie stacji nadawczej - PKP	0,097	0,096
66	1,1	3,46	0,003	0,009	1,7	N: 51° 46' 6,93" E: 19° 27' 44,74"	otoczenie stacji nadawczej - PKP	0,089	0,088
67	0,9	2,83	0,002	0,008	1,6	N: 51° 46' 7,21" E: 19° 27' 42,65"	otoczenie stacji nadawczej - PKP	0,073	0,072
68	0,8	2,52	0,002	0,007	1,2	N: 51° 46' 7,09" E: 19° 27' 39,71"	otoczenie stacji nadawczej - PKP	0,065	0,064

„Bez pisemnej zgody Laboratorium niniejsze sprawozdanie nie może być powielane inaczej, jak tylko w całości. Ponadto wyniki dotyczą tylko badanych obiektów przywołanych w niniejszym sprawozdaniu z badań”
103/04/OŚ/2020 - P4 - W

A	1,5	4,72	0,004	0,013	1,8	-	ul. Narutowicza 38, hotel, pomiar przed wejściem - DPP	0,121	0,120
B	1,4	4,41	0,004	0,012	1,9	-	ul. Kilińskiego 50, pomiar przed wejściem - DPP	0,113	0,112
C	2,3	7,24	0,006	0,019	1,2	-	ul. Kilińskiego 48, pomiar przed wejściem - DPP	0,186	0,184
D	1,2	3,78	0,003	0,010	1,4	-	ul. Kilińskiego 46, pomiar przed wejściem - DPP	0,097	0,096
E	1,8	5,67	0,005	0,015	1,3	-	ul. Kilińskiego 44, pomiar przed wejściem, budynek opuszczony - DPP	0,146	0,144
F	1,9	5,98	0,005	0,016	1,9	-	ul. Kilińskiego 42, pomiar przed wejściem, budynek opuszczony - DPP	0,154	0,152
G	0,8	2,52	0,002	0,007	1,2	-	ul. Kilińskiego 40, pomiar na klatce schodowej na III piętrze - DPP	0,065	0,064
H	0,9	2,83	0,002	0,008	1,9	-	ul. Jaracza 36A, pomiar przed wejściem - DPP	0,073	0,072
I	<0,7*	-	-	-	1,7	-	ul. Kilińskiego 36, pomiar przed wejściem, budynek opuszczony - DPP	-	-
J	<0,7*	-	-	-	1,9	-	ul. Kilińskiego 36, budynek opuszczony, pomiar przed wejściem - DPP	-	-
K	0,7	2,20	<0,002	0,006	1,5	-	ul. Rewolucji 1905 r. 37/39, pomiar przed wejściem - DPP	0,057	0,056
L	0,9	2,83	0,002	0,008	1,5	-	ul. Traugutta 14, pomiar przed wejściem - DPP	0,073	0,072
M	1,1	3,46	0,003	0,009	1,6	-	ul. Traugutta 12, pomair przed wejściem - DPP	0,089	0,088
N	1,2	3,78	0,003	0,010	1,3	-	ul. Traugutta 10, pomiar na klatce schodowej na V piętrze - DPP	0,097	0,096
O	0,8	2,52	0,002	0,007	1,4	-	ul. Traugutta 8, pomiar na II piętrze na klatce schodowej - DPP	0,065	0,064
P	<0,7*	-	-	-	1,3	-	ul. Traugutta 6, pomiar przed wejściem, hotel - DPP	-	-
R	<0,7*	-	-	-	1,8	-	ul. Traugutta 6, budynek gospodarczy hotelu, pomiar przed wejściem - DPP	-	-
S	<0,7*	-	-	-	1,5	-	ul. Piotrkowska 66, pomiar przed wejściem - DPP	-	-
T	0,7	2,20	<0,002	0,006	1,2	-	ul. Piotrkowska 64, pomiar przed wejściem - DPP	0,057	0,056
U	0,7	2,20	<0,002	0,006	1,5	-	ul. Piotrkowska 64, pomiar przed wejściem - DPP	0,057	0,056
W	2,2	6,93	0,006	0,018	1,8	-	ul. Piotrkowska 57, pomiar przed wejściem, budynek banku - DPP	0,178	0,176
X	2,3	7,24	0,006	0,019	1,4	-	ul. Piotrkowska 55, pomiar przed wejściem, hotel - DPP	0,186	0,184
Y	0,9	2,83	0,002	0,008	1,2	-	ul. Kościuszki 10, budynek biurowy, pomiar przed wejściem - DPP	0,073	0,072
Z	2,2	6,93	0,006	0,018	1,8	-	ul. Piotrkowska 57, pomiar przed wejściem - DPP	0,178	0,176
ZA	0,7	2,20	<0,002	0,006	1,9	-	ul. Traugutta 25, pomair na klatce schodowej na XV piętrze - DPP	0,057	0,056
ZB	1,4	4,41	0,004	0,012	1,4	-	ul. Kilińskiego 75, pomiar w oknie na klatce schodowej na II piętrze - DPP	0,113	0,112
ZC	1,3	4,09	0,003	0,011	1,5	-	ul. Kilińskiego 77, pomiar przed wejściem - DPP	0,105	0,104
ZD	1,6	5,04	0,004	0,013	1,9	-	ul. Kilińskiego 79, pomiar przed wejściem - DPP	0,130	0,128
ZE	1,8	5,67	0,005	0,015	1,7	-	Biurowiec w budowie, pomiar przed wejściem - DPP	0,146	0,144
ZF	1,0	3,15	0,003	0,008	1,9	-	ul. Traugutta 21/23, pomiar rpzed wejściem - DPP	0,081	0,080
ZG	1,6	5,04	0,004	0,013	2,0	-	ul. Traugutta 18, pomiar przed wejściem - DPP	0,130	0,128
ZH	1,1	3,46	0,003	0,009	1,5	-	ul. Sienkiewicza 28/30, pomiar przed wejściem - DPP	0,089	0,088
ZI	0,8	2,52	0,002	0,007	1,6	-	ul. Sienkiewicza 24, pomiar rpzed wejściem - DPP	0,065	0,064

* poniżej czułości zestawu pomiarowego

GKP – główne kierunki pomiarowe

PKP – pomocnicze kierunki pomiarowe

DPP – dodatkowe punkty pomiarowe

PP – pion pomiarowy

U – niepewność pomiarowa dla współczynnika rozszerzenia $k=2$

k_E – poprawka pomiarowa badanej instalacji radiokomunikacyjnej podana przez operatora ($k_E=1,40$),

„Bez pisemnej zgody Laboratorium niniejsze sprawozdanie nie może być powielane inaczej, jak tylko w całości. Ponadto wyniki dotyczą tylko badanych obiektów przywołanych w niniejszym sprawozdaniu z badań”

103/04/OŚ/2020 - P4 - W

poprawka pomiarowa w przypadku oddziaływania innych instalacji radiokomunikacyjnych na badany obszar ($k_{\epsilon}=2,0$)
WME – wartość wskaźnikowa poziomu emisji pól elektromagnetycznych dla miejsc dostępnych dla ludności dla składowej elektrycznej pola
WMH – wartość wskaźnikowa poziomu emisji pól elektromagnetycznych dla miejsc dostępnych dla ludności dla składowej magnetycznej pola
Przyjęto najniższą dopuszczalną wartość składowej elektrycznej pola dla objętego pomiarami zakresu częstotliwości $\min(ME_{gr})=38,89$ V/m oraz składowej magnetycznej $\min(MH_{gr})=0,105$ A/m.

7. Stwierdzenie zgodności

Na podstawie wytycznych podanych w Rozporządzeniu Ministra Zdrowia z dnia 17 grudnia 2019 r. w sprawie dopuszczalnych poziomów pól elektromagnetycznych w środowisku (Dz.U. 2019 poz. 2448) oraz sposobów sprawdzania dotrzymania tych poziomów zgodnie z Rozporządzeniem Ministra Klimatu z dnia 17 lutego 2020 r. w sprawie sposobów sprawdzania dotrzymania dopuszczalnych poziomów pól elektromagnetycznych w środowisku (Dz.U. 2020 poz. 258) dotyczących źródła wymagań, które muszą być spełnione (załącznik do rozporządzenia Ministra Klimatu z dnia 17 lutego 2020 r. (poz. 258)), w oparciu o zasadę podejmowania decyzji zgodną z pkt 26 załącznika do rozporządzenia Ministra Klimatu z dnia 17 lutego 2020 r. (poz. 258), na podstawie wyników pomiarów pól elektromagnetycznych wykonanych w dniu 04.05.2020r. stwierdzono, iż w miejscach dostępnych dla ludności, dopuszczalne poziomy pól elektromagnetycznych w środowisku, określone w przepisach wydanych na podstawie art. 122 ust. 1 ustawy z dnia 27 kwietnia 2001 r. – Prawo ochrony środowiska, uznaje się za dotrzymane w obszarze pomiarowym, w którym w wyniku zastosowania sposobu sprawdzenia dotrzymania dopuszczalnych poziomów pól elektromagnetycznych w środowisku, udokumentowano, że żadna z wartości wskaźnikowych nie przekracza wartości 1.

8. Oświadczenie.

Wyniki badania odnoszą się wyłącznie do badanego obiektu.

Bez pisemnej zgody sprawozdanie nie może być powielane inaczej, jak tylko w całości.

Uwagi i zastrzeżenia przyjmowane są w formie pisemnej w ciągu 14 dni od daty otrzymania sprawozdania.

9. Spis załączników.

Zał. 1. Lokalizacja obiektu.

Zał. 2. Widok pionów pomiarowych

Zał. 3. Załączniki graficzne.

Koniec sprawozdania

Załącznik 1. Lokalizacja obiektu



województwo: łódzkie

Współrzędne geograficzne	
długość:	E: 19° 27' 48,44"
szerokość:	N: 51° 46' 7,12"

Zał. 2. Widok pionów pomiarowych



LEGENDA:

- | | | | |
|---|------------------------------------|---|--|
|  | inna instalacja radiokomunikacyjna |  | punkt pomiarowy z poprawką pomiarową podaną przez operatora |
|  | brak dostępu |  | punkt pomiarowy będący w zasięgu innych instalacji radiokomunikacyjnych z poprawką pomiarową 2,0 |
| | |  | antena sektorowa |
| | |  | antena radioliniowa |

Odległość, do której zostały wykonane pomiary mierząc od instalacji antenowej wynosi min. 672 m.

Skala: 1:9100

Załącznik 3. Załączniki graficzne.

